

# อิทธิพลตัวแปรการเชื่อมฟริกชั้นสเตอร์ต่อกลไกนิรดิษต์ต่อชานอลูมิเนียมและเหล็กกล้า

กิตติพงษ์ กิมพงศ์<sup>(1)</sup> และอนินทร์ มีมนต์<sup>(2)</sup>

## บทคัดย่อ

บทความนี้นำเสนอการเชื่อมรอยต่อชานแผ่นอลูมิเนียมผสมและแผ่นเหล็กกล้าคาร์บอนต่ำด้วยวิธีการเชื่อมฟริกชั้นสเตอร์ โดยมีการศึกษาตัวแปรการเชื่อมที่มีผลต่อสมบัติของรอยต่อ เช่น ความรีร้อนในการหมุนของตัวกวาน ระยะตำแหน่งของตัวกวานในรอยต่อ และขนาดความต้องด้วยวิธีการทดลองที่ได้ถือ รอยต่อชานระหว่างอลูมิเนียมผสมและเหล็กกล้าคาร์บอนต่ำสามารถทำการเชื่อมได้อย่างมีประสิทธิภาพด้วยการเชื่อมฟริกชั้นสเตอร์ ค่าความต้านทานแรงดึงสูงสุดมีค่าประมาณร้อยละ 86 ของค่าความต้านทานแรงดึงสูงสุดของอลูมิเนียมผสม เศษเล็กๆ ของเหล็กกลักดันเข้าสู่แนวเชื่อมก่อให้เกิดสารประกอบกึ่งโลหะที่บริเวณด้านบนของแนวเชื่อมและทำให้เกิดการพังทลายของรอยต่อตามแนวเชื่อมยึดของเหล็กและอลูมิเนียม ขณะที่กึ่งกลางและด้านล่างของแนวเชื่อมไม่มีการก่อการต่อของสารประกอบกึ่งโลหะ

## ABSTRACT

This paper proposes an application of a friction stir welding to butt-weld an aluminum alloy plate to a low carbon steel plate. The effects of pin rotation speed, position of the pin axis and pin diameters on tensile strength and microstructure of the joint were investigated. The main results are as follows. Butt joint welding of an aluminum alloy plate was easily and successfully achieved. The maximum tensile strength of the joint was about 86% of that of the aluminum

alloy base metal. Many fragments of the steel were scattered in the aluminum alloy matrix and a fracture tended to occur along the interface between the fragment and the aluminum matrix. A small amount of intermetallic compounds was formed at the upper part of the steel/aluminum interface while no intermetallic compounds were observed in the middle and the bottom regions of the interface. A small amount of intermetallic compound was also often formed at the interface between the steel fragments and the aluminum matrix. The regions where the intermetallic compounds formed seemed to be fracture paths in a joint.

## 1. บทนำ

การลดน้ำหนักโครงการสร้างของรยนต์เป็นหนึ่งในกระบวนการที่มีประสิทธิผลในการประหยัดเชื้อเพลิง และมีการใช้งานอย่างแพร่หลายในอุตสาหกรรมการผลิต ยานยนต์ วัสดุที่มีน้ำหนักเบา เช่น อลูมิเนียมผสม ได้มีการนำมาใช้ทดแทนชิ้นส่วนบางตัวที่ทำจากเหล็ก ด้วยเหตุนี้รอยต่อของเหล็กและอลูมิเนียมจึงมีการใช้งานเพิ่มขึ้นในโครงการสร้างยานยนต์ภายในได้สภาวะนี้จึงมีความพยายามในการเชื่อมต่อเหล็กและอลูมิเนียมเข้าด้วยกัน แต่อย่างไรก็ตามการเชื่อมที่ทำให้เกิดรอยเชื่อมที่มีประสิทธิภาพสูง เป็นไปได้ด้วยความยากลำบากเนื่องจากสารประกอบกึ่งโลหะที่แสดงความ permeability ต่อชิ้น ในแนวเชื่อมที่ผ่านมาได้มีนักวิจัยพยายามทำการศึกษา และเชื่อม

<sup>(1)</sup> อาจารย์ ภาควิชาวิศวกรรมวัสดุและโลหการ คณะวิศวกรรมศาสตร์ มหาวิทยาลัยเทคโนโลยีราชมงคลรัตนบุรี

โทรศัพท์/โทรสาร : 0-2549-3490 จดหมายอิเล็กทรอนิกส์ jomyut@rmut.ac.th

<sup>(2)</sup> อาจารย์ ภาควิชาวิศวกรรมวัสดุและโลหการ คณะวิศวกรรมศาสตร์ มหาวิทยาลัยเทคโนโลยีราชมงคลรัตนบุรี

โทรศัพท์/โทรสาร : 0-2549-3490 จดหมายอิเล็กทรอนิกส์ anin@rmut.ac.th

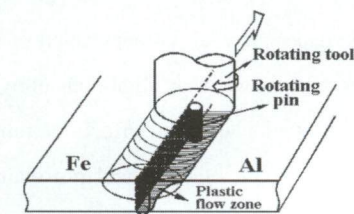
อลูมิเนียมผสมเข้ากับเหล็กด้วยกระบวนการเชื่อมต่างๆ และมีการรายงานผลการศึกษา คือ การเชื่อมความด้านทันทาน (Friction Welding) แต่กรรมวิธีนี้มีข้อจำกัดที่ชิ้นงานอย่างน้อยหนึ่งชิ้นจะต้องมีภาคตัดเป็นทรงกลม [1] การเชื่อมด้วยอัลตราโซนิก (Ultrasonic Welding) แต่บริษัทการนี้มีการประยุกต์ใช้งานไม่ค่อยแพร่หลาย และปัจจุบันใช้กับงานที่มีความหนาของแผ่นวัสดุไม่มาก [2] การเชื่อมแบบใช้เลเซอร์ (Laser Welding) เป็นอีกวิธีที่มีการใช้ในการเชื่อมอลูมิเนียมเข้ากับเหล็ก แต่กรรมวิธีนี้ขาดต่อการควบคุมความร้อนแนวเชื่อม (Heat Input) ก่อให้เกิดสารประกอบกั่งโลหะที่มีความ perse และอุปกรณ์ในการเชื่อมมีราคาค่อนข้างสูง

การเชื่อมฟริกชันสเตเตอร์ (Friction Stir Welding) เป็นกระบวนการเชื่อมที่มีการคิดค้นโดยสถาบันการเชื่อม (The Welding Institute: TWI) ประเทศอังกฤษ [4] และเป็นกระบวนการเชื่อมในสภาพของแข็งที่อุณหภูมิการเชื่อมต่ำกว่าจุดหลอมเหลวของวัสดุ ซึ่งเป็นผลดีทำให้วัสดุไม่เกิดการหลอมละลาย และในกรณีการเชื่อมรอยต่อของเหล็กและอลูมิเนียม คาดว่าการก่อตัวของสารประกอบกั่งโลหะที่ประาะจะมีปริมาณลดลงหรือถูกกำจัดออกที่ผ่านมาเมื่องานวิจัยที่นำเสนองานการประยุกต์การเชื่อมฟริกชันสเตเตอร์ในการเชื่อมอลูมิเนียมกับเหล็กไม่มากนัก [5-6] ด้วยเหตุนี้ญี่ปุ่นจึงมีจุดประสงค์ในการใช้การเชื่อมโลหะแบบฟริกชันสเตเตอร์ในการเชื่อมรอยต่อชนแผลอลูมิเนียมผสมและแผ่นเหล็กกล้าคาร์บอนต่ำ และศึกษาอิทธิพลตัวแปรการเชื่อมที่มีผลต่อสมบัติและโครงสร้างจุลภาคของรอยต่อ

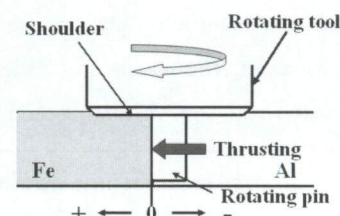
## 2. วิธีการทดลอง

รูปที่ 1 อธิบายตำแหน่งของตัววิเคราะห์ (Rotating Pin) ในการเชื่อมแบบฟริกชันสเตเตอร์ รูป 1(ก) แสดงภาพสามมิติการเคลื่อนที่ของเครื่องมือ (Rotating Tool) เพื่อเชื่อมวัสดุเข้าด้วยกัน และรูป 1(ข) แสดงภาคตัดตั้งจากกับทิศทางการเชื่อม เพื่อแสดงตำแหน่งของเครื่องมือและตัววิเคราะห์ (Pin) ตัววิเคราะห์มีหน้าที่กำหนดจะถูกคลึงในแนวเดิงสู่แผ่นอลูมิเนียม ดังแสดงในรูปที่ 1(ข) จากนั้นตัววิเคราะห์จะเคลื่อนที่ในแนวนานาเข้าหาพิว

ด้านข้างแห่งเหล็ก ดังแสดงในรูปที่ 1(ข) ผิวด้านข้างของตัววิเคราะห์มีหนามจะขัดและกำจัดชั้นพื้นผิวนางๆ ของแผ่นเหล็กทำให้เหล็กที่ถูกขัดเกิดการกระตุ้นเรียกว่า “ผิวกระตุ้น (Activated Surface)” [5] ขณะเดียวกันอลูมิเนียมที่เกิดการอ่อนตัวนี้จะแยกความร้อนที่เกิดจากแรงเสียดทานระหว่างตัววิเคราะห์และอลูมิเนียมจะถูกดันเข้าไปหาผิวกระตุ้น และเกิดการยึดตัวของอลูมิเนียมและเหล็ก เนื่องจากกระบวนการนี้ตัววิเคราะห์ถูกคลึงในอลูมิเนียมซึ่งเป็นวัสดุที่มีความแข็งต่ำเมื่อเปรียบเทียบกับเหล็ก และปลายของตัววิเคราะห์ไม่ได้สัมผัสกับเหล็กจึงทำให้เกิดการลอกคร่อง (Wear) ของตัววิเคราะห์ค่อนข้างน้อย เปรียบเทียบกับกระบวนการเชื่อมแบบ ฟริกชันสเตเตอร์ที่คันพม โดย TWI ความแตกต่างของกระบวนการคือตำแหน่งของสีน้ำผักชันสูญญากาศของตัววิเคราะห์และตำแหน่งแนวระเบียงของรอยต่อชนของกรรมวิธีที่คิดค้นโดย TWI จะต้องเป็นแนวเดียวกันขณะที่ตำแหน่งดังกล่าวในการวิจัยนี้ไม่จำเป็น ต้องเป็นแนวเดียวกัน นอกจากนี้ในรายงานผลการศึกษาอ่อนหนานี้ [5] พนิชว่า หากตำแหน่งดังกล่าวเป็นแนวเดียวกันในกรณีการเชื่อมอลูมิเนียมเข้ากับเหล็ก รอยเชื่อมไม่สามารถเกิดขึ้นได้เนื่องจากตัววิเคราะห์เกิดการแตกหักของตัววิเคราะห์ และเป็นสาเหตุให้วัสดุร่อนๆ ตัววิเคราะห์ไม่เกิดการไหลวนรอบๆ ตัววิเคราะห์ซึ่งเป็นปัจจัยสำคัญที่ไม่ทำให้เกิดแนวเชื่อม



(ก) การวางแผนวัสดุสำหรับการเชื่อม fsw



(ข) ตำแหน่งการวางแผนวิเคราะห์

รูปที่ 1 ตำแหน่งวัสดุในการเชื่อมต่อชนด้วยการเชื่อมฟริกชันสเตเตอร์

วัสดุที่ใช้ในการทดลองนี้คือแผ่นอลูมิเนียมพลาสติก A5083 (Al-5.0% Mg-0.5% Mn, % โดยน้ำหนัก) และเหล็กกล้าคาร์บอนต่ำ SS400 (Fe-0.15% C, % โดยน้ำหนัก) ความหนา 2 มิลลิเมตร (มม.) ค่าความต้านทานแรงดึงสูงสุดของอลูมิเนียมคือ 275 MPa และของเหล็กคือ 455 MPa แผ่นวัสดุอลูมิเนียมที่มีความกว้าง 40 มม. ยาว 140 มม. ของของแผ่นวัสดุด้านความยาว 140 มม. ถูกขัดด้วยกระดาษทรายเบอร์ 400 เพื่อกำจัดรอยที่เกิดจากการตัดด้วยไฟฟ้าและทำความสะอาดผิว

เครื่องมือที่ใช้ในการเตรียมทำจากเหล็กกล้าความเร็วสูงเบอร์ JIS-SKH-57 โดยบ่า (Tool Shoulder) ของเครื่องมือมีส่วนผ่านศูนย์กลาง 15 มม. ตัวงานมีรูปร่างทรงกระบอกไม่มีเกลียวส่วนผ่านศูนย์กลาง 1 ถึง 4 มม. ความยาวของตัวงานวัดจากบ่าเครื่องมือถึงปลายสุดของตัวงาน คือ 1.8 มม. ตัวแปรที่ใช้ในการเตรียมคือ ความเร็วต่อรอบ (Revolution per Minute: rpm) ของตัวงาน (Rotational Speed) ตามเข็มนาฬิกา 100 ถึง 1250 rpm ความเร็วเชื่อม (Welding Speed) 25 มิลลิเมตรต่อนาที (Millimeter/Minute: mm/min) อลูมิเนียมจัดวางไว้ที่ด้านเรียบร้อย (Retreatin Side) ตัวงานถูกดันเข้าหากันด้วยแรงของแผ่นเหล็ก (Thrusting Distance) ดังแสดงในรูปที่ 1(ข) มีค่า -0.2 ถึง 2.0 มม. ที่ตำแหน่ง 0.0 มม. คือ ตำแหน่งด้านข้างของตัวงานสัมผัสพอดีกับด้านข้างของแผ่นเหล็ก

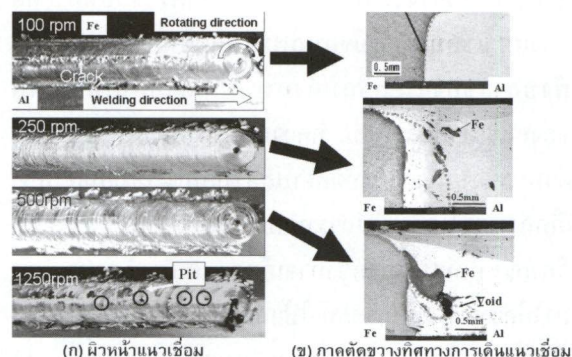
ใช้วิธีการทดสอบแรงดึง (Tensile test) ทดสอบหาค่าความแข็งแรงของรอยเชื่อมต่อ ชิ้นทดสอบแรงดึงจะตัดจากชิ้นงานเชื่อมในตำแหน่งที่เกิดการพังทะลาย โดยตัดให้พิเศษทางด้านซ้ายกับแนวเชื่อม และให้แนวเชื่อมอยู่ตำแหน่งกลางของชิ้นทดสอบ

ชิ้นทดสอบสำหรับตรวจสอบโครงสร้างจุลภาคถูกเตรียมลักษณะเดียวกันกับชิ้นทดสอบแรงดึง จากนั้นชิ้นทดสอบจะถูกขัดตามชิ้นตอนการเตรียมชิ้นงานเพื่อตรวจสอบโครงสร้างจุลภาค ชิ้นงานที่ผ่านการขัดจนมีความมั่นคงจะถูกนำมา กัดโครงสร้างเฉพาะด้านของเหล็กด้วยสารละลายน้ำ 3% เพื่อแสดงความแตกต่างของแนว

เชื่อม ชิ้นงานถูกนำมาระบบด้วยกล้องจุลทรรศน์แบบแสง (Optical Microscope) และกล้องจุลทรรศน์อิเล็กตรอนแบบความถี่ (Scanning Electron Microscope: SEM) ที่ต่อเชื่อมกับการวัดการกระจายตัวของพลังงานรังสีเอ็กซ์ (X-ray Energy-dispersive Spectroscopy: EDS)

### 3. ผลการทดลองและการวิเคราะห์ผล

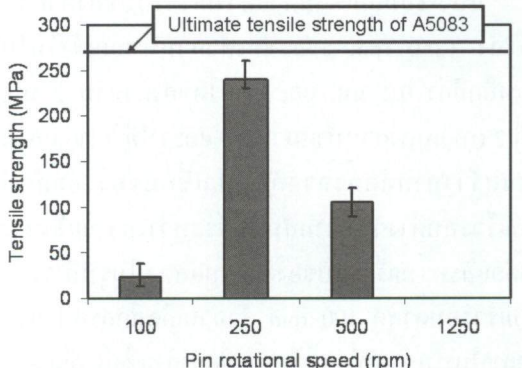
#### 3.1 อิทธิพลความเร็วของตัวงานต่อความแข็งแรงของรอยต่อ



รูปที่ 2 ผิวน้ำหน้าแนวเชื่อมและภาคตัดขวางที่ความเร็วของตัวงาน

แนวเชื่อมถูกเชื่อมด้วยความเร็วของตัวงาน 100 ถึง 1250 rpm ระยะของตัวงานที่สอดเข้าไปในเนื้อเหล็กมีค่า 0.2 มม. และความтолดของตัวงาน 2 มม. รูปที่ 2 (ก) แสดงผิวน้ำหน้าแนวเชื่อม และรูปที่ 2 (ข) แสดงโครงสร้างตัดตั้งจากกันแนวๆ เชื่อมของรอยต่อที่ความเร็วของตัวงาน ความสัมพันธ์ระหว่างความแข็งแรงรอยต่อและความเร็วของตัวงานแสดง ในรูปที่ 3 เมื่อความเร็วอยู่ต่ำสุด 100 rpm ตัวงานเกิดสึกกร่อน และพังทะลายในระยะเวลาที่ค่อนข้างสั้นเมื่อทำการเชื่อม เมื่อจากความร้อนจากแรงเสียดทานน้อยเกิน และไม่เพียงพอในการทำให้อลูมิเนียมเกิดการอ่อนตัว แนวเชื่อมเกิดขึ้นบริเวณที่ผิวน้ำหน้าแนวเชื่อมเท่านั้น แนวการพังทะลาย (Fracture Path) ซึ่งแสดงโดยเส้นประเกิดการพังทะลายตามอินเทอร์เฟซของรอยต่อตามแนวการเชื่อมยังที่ไม่สมบูรณ์ระหว่างอลูมิเนียม และเหล็ก ซึ่งเป็นสาเหตุที่ทำให้ความแข็งแรงต่ำ ความเร็วของตัวงาน 250 rpm ทำให้เกิดแนวเชื่อมที่สมบูรณ์และแสดง

ถ้าความแข็งแรงสูงสุดประมาณ 240 MPa ซึ่งมีค่าประมาณ 86% ของอัลミニียมที่ใช้เป็นวัสดุหลักในการเชื่อม รอยแตกพังทลายของความเร็วรอบนี้เกิดขึ้นตามอินเทอร์เฟซของอัลミニียมและพื้นที่เล็กๆ ที่อยู่ในพื้นหลักอัลミニียมดังแสดงในรูปที่ 3 ซึ่งเมื่อวิเคราะห์ด้วย EDS พบว่าส่วนพื้นที่เล็กๆ นี้มีส่วนผสมไกลส์เคียงกับเหล็กที่ถูกดันหลุดออกจากเหล็กเนื่องจากการขัดสีของตัวกวน ที่ความเร็วรอบ 500 rpm ผิวหน้าแนวซี่อมมีลักษณะคล้ายกับความเร็วรอบ 250 rpm แต่ความแข็งแรงของรอยต่อต่ำลง เมื่อตรวจสอบภาคตัดขวางแนวเชื่อมพบว่ามีจุดบกพร่องเกิดขึ้น และแนวการพังทลายของแนวเชื่อมด้านบนเกิดตามอินเทอร์เฟซของอัลミニียมและเหล็ก ที่ความเร็วรอบสูงสุด 1250 rpm ผิวหน้าของแนวซี่อมเกิดร้าวสีดำลักษณะเหมือนผิวหน้าเกิดการเผาไหม้แต่ในการทดลองนี้ไม่ได้พิสูจน์ตรงจุดนี้ ลักษณะที่เกิดขึ้นคาดว่าอาจเกิดจากความเร็วรอบที่สูงทำให้ความร้อนเพิ่ม และทำให้แมกนีเซียมที่อยู่ในอัลミニียมเกิดการเผาไหม้ แนวซี่อมที่สมบูรณ์ไม่สามารถทำได้และทำให้ไม่สามารถเตรียมชิ้นทดสอบแรงดึงได้ซึ่งเป็นสาเหตุแสดงถึงความแข็งแรงเป็นสูญเสีย

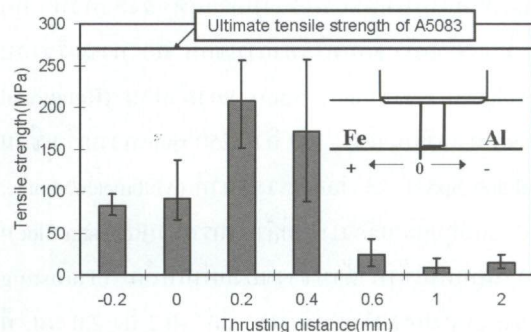


รูปที่ 3 ความสัมพันธ์ระหว่างความเร็วรอบตัวกวนและความแข็งแรงรอยต่อ

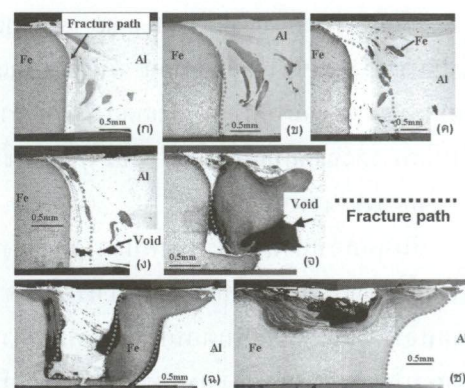
### 3.2 อิทธิพลระยะการวางแผนตัวกวนต่อความแข็งแรงของรอยต่อ

รูปที่ 4 แสดงอิทธิพลของตำแหน่งของตัวกวนต่อความแข็งแรงของแนวซี่อม ที่ความเร็วรอบ 250 rpm

ความเร็วเดินแนวซี่อม 25 mm/min เมื่อตำแหน่งของตัวกวนมีค่าเป็นสูญญากาศ ด้านข้างตัวกวนมีตำแหน่งสัมผัสหรือไม่สัมผัสเหล็กและอยู่ในด้านอัลミニียม พบว่า ถ้าความแข็งแรงของรอยต่อค่อนข้างดี การเกิดลักษณะนี้เนื่องจากการขัดผิวบางๆ ของเหล็กเพื่อสร้างผิวกระตุ้นไม่เพียงพอและเกิดการพังทลายตามแนวอินเทอร์เฟซของอัลミニียม และส่วนของเหล็กดังแสดงโดยเส้นประในรูปที่ 5 เมื่อระยะตำแหน่งของตัวกวนเพิ่มเป็น 0.2 mm. ซึ่งแสดงถึงความแข็งแรงสูงสุด ผิวกระตุ้นถูกสร้างเพียงพอทำให้เกิดการเกาะยึดระหว่างอัลミニียมและเหล็กเพิ่มขึ้น และแนวการพังทลายของรอยต่อเลื่อนเข้ามาในบริเวณอัลミニียม และเกิดขึ้นตามอินเทอร์เฟซของส่วนของเหล็กที่ถูกดันเข้ามาในแนวซี่อมกับอัลミニียมพื้นหลัก ดังแสดงโดยเส้นประในรูปที่ 5



รูปที่ 4 ความสัมพันธ์ระหว่างตำแหน่งตัวกวนและความแข็งแรงของรอยต่อ

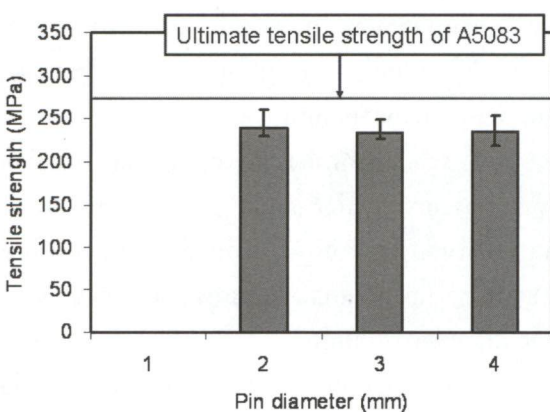


รูปที่ 5 ภาพตัดขวางที่ทำการเชื่อมของรอยต่อที่ระยะตำแหน่งตัวกวนต่างๆ : (n) -0.2 (x) 0.0 (c) 0.2 (q) 0.4 (z) 0.6 (y) 1.0 และ(ж) 2.0 มิลลิเมตร

เมื่อระยะตำแหน่งของตัวกวนเพิ่มขึ้นเป็น 0.6 ถึง 2.0 มม. ส่วนของเหล็กกลูกดันเข้ามาในแนวเชือมเพิ่มมากขึ้น และจุดบกพร่องขนาดใหญ่สามารถตรวจสอบและเป็นสาเหตุทำให้เกิดการลัดวงของความแข็งแรงของรอยต่อ นอกจากนี้ที่ระยะ 1.0 และ 2.0 มม. ตัวกวนเกิดการสึกกร่อนและหักออก เมื่อระยะเพิ่มเป็น 2.0 มม. ตัวกวนเกิดการสึกกร่อนและหักออกอย่างรวดเร็วทำให้แนวเชือมเกิดการเชื่อมเฉพาะบริเวณใกล้กับบ่าของเครื่องมือเท่านั้นซึ่งเป็นสาเหตุทำให้แสดงค่าความแข็งแรงของรอยต่อค่อนข้างต่ำ

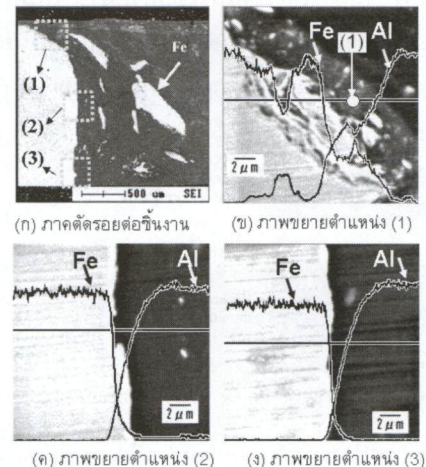
### 3.3 อิทธิพลความโดยของตัวกวนต่อความแข็งแรงของรอยต่อ

แนวเชือมลูกเชือมด้วยตัวกวนขนาดเส้นผ่านศูนย์กลาง 1 ถึง 4 มม. ความเร็วรอบ 250 rpm ระยะตำแหน่งตัวกวน 0.2 มม. ความสัมพันธ์ระหว่างความโดยของตัวกวนและความแข็งแรงของรอยต่อแสดงไว้ในรูปที่ 6 เมื่อตัวกวนมีความโดย 1 มม. รอยต่อไม่สามารถเชื่อมได้เนื่องจากตัวกวนเกิดการพังพลายเมื่อเริ่มเคลื่อนตัวจาก จุดเริ่มต้นเพียงเล็กน้อย ขณะที่ความโดยของตัวกวนเพิ่มขึ้นเป็น 2 ถึง 4 มม. ค่าความแข็งแรงของรอยต่อมีค่าใกล้เคียงกันและโครงสร้างจุลภาคของแนวเชือมของตัวกวนความโดย 3 ถึง 4 มม. มีลักษณะคล้ายกับความโดยของตัวกวน 2 มม. ดังแสดงไว้ในรูปที่ 5(ค)



รูปที่ 6 ความสัมพันธ์ระหว่างเส้นผ่านศูนย์กลางตัวกวนและความแข็งแรงของรอยต่อ

### 3.4 โครงสร้างจุลภาคของรอยต่อ

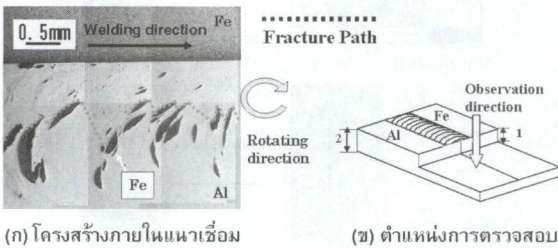


รูปที่ 7 โครงสร้างจุลภาคของแนวเชือมที่แสดงความแข็งแรงสูงสุด

รูปที่ 7 (ก) แสดงภาพถ่าย SEM บริเวณอินเตอร์เฟสของรอยต่อที่ตั้งฉากกับทิศทางการเดินแนวเชือมที่แสดงถ่วงความแข็งแรงสูงสุดในการทดลองนี้ ตำแหน่ง (1) (2) และ (3) ได้นำมาวิเคราะห์การกระจายตัวพลังงานรังสีเอ็กซ์แบบเส้น (X-ray Energy-dispersive line analysis) เพื่อวิเคราะห์การก่อตัวของสารประกอบกึ่งโลหะ ผลการวิเคราะห์แสดงในรูปที่ 7 (ข) ถึง (ง) ที่บริเวณด้านบนของรอยต่อใกล้กับบ่าเครื่องมือ ถนนทางๆ ของสารประกอบกึ่งโลหะก่อตัวขึ้น ดังแสดงในรูปที่ 7 (ข) แต่ตำแหน่งกึ่งกลางและด้านล่างของรอยต่อสารประกอบกึ่งโลหะ ไม่มีการก่อตัวขึ้น ทำการวิเคราะห์ส่วนผสมทางเคมีของสารประกอบกึ่งโลหะที่เกิดขึ้นที่ตำแหน่งจุด (1) พบว่าส่วนผสมทางเคมีของจุดดังกล่าวมีค่าใกล้เคียงสารประกอบกึ่งโลหะชนิด  $\text{FeAl}_3$  (19.16% Fe-70.26% Al-5.27% Mg-4.86% O, % โดยอัตรา) เมื่อเปรียบเทียบกับชนิดสารประกอบกึ่งโลหะเกิดในแผนภาพสมดุลเหล็กและอลูминีียม [7] ซึ่งเป็นสารประกอบกึ่งโลหะที่มีความแข็งแรง วัดค่าความแข็งได้ประมาณ 641 HV<sub>0.01</sub> การสังเกตุการพังพลายของชิ้นทดสอบพบว่าเกิดขึ้นที่บริเวณเฟสหนึ่งก่อนขยายตัวลงสู่ด้านล่างของรอยต่อ จึงกล่าวได้ว่าการก่อตัวของสาร ประกอบกึ่งโลหะทำให้ค่าความแข็งแรงของรอยต่อลดลง การก่อตัวของ

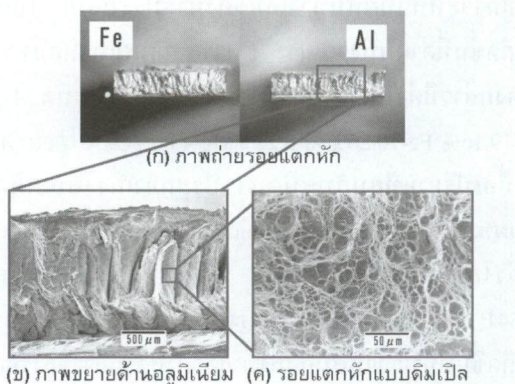
## 6 วารสารวิศวกรรมศาสตร์ ราชมงคลรัตนบุรี

สารประกอบกึ่งโลหะที่แข็งและเบาะที่บริเวณไกส์เกียง นำของเครื่องมือ เนื่องจากบริเวณดังกล่าว เป็นตำแหน่งที่อุณหภูมิร้อยชื่อมที่ผลิตด้วยกระบวนการเชื่อมฟริกชั้นสเตอร์มีค่าสูงเมื่อเปรียบเทียบกับบริเวณอื่นๆ ของรอยเชื่อม [8]



รูปที่ 8 โครงสร้างจุดภาคภายในของแนวเชื่อม (มุมมองด้านบน) ที่แสดงความแข็งแรงสูงสุด

ส่วนของเหล็กที่ถูกดันเข้ามาในแนวเชื่อมนี้เกิดขึ้นก่อนข้างสม่ำเสมอภายในแนวเชื่อมดังแสดงในรูปที่ 8(ก) ซึ่งแสดงโครงสร้างของรอยต่อที่บริเวณความลึกประมาณ 1 มม. จากผิวด้านบนของแนวเชื่อม และมีทิศทางการตรวจสอบดังแสดงในรูปที่ 8 (ข) สัดส่วนของเหล็กถูกขัดและดันเข้าไปอยู่ในแนวเชื่อมและก่อให้เกิดสารประกอบกึ่งโลหะที่มีความประนีประนอมอินเทอร์เฟซของส่วนของเหล็กและอุณหภูมนียมพื้นหลัก ผลที่เกิดขึ้นนี้เป็นสาเหตุทำให้รอยต่อเกิดการพังทลายตามแนวการก่อตัวของสารประกอบกึ่งโลหะดังแสดงโดยเส้นประในรูปที่ 8 (ก)



รูปที่ 9 รอยแตกหักของรอยต่อที่แสดงค่าแรงดึงสูงสุด

รูปที่ 9 (ก) แสดงภาพด้วยรยอยแตกหักด้านอุณหภูมนียม และเหล็กของชิ้นทดสอบที่แสดงค่าแรงดึงสูงสุด ภาพขยายของรอยแตกหักด้านอุณหภูมนียมดังแสดงในรูปที่ 9 (ข) แสดงลักษณะที่ไม่สม่ำเสมอของรอยแตกหักซึ่งคาดว่าเป็นตำแหน่งการแตกหักที่เกิดขึ้นบริเวณอินเทอร์เฟซของส่วนของเหล็กที่อยู่ในพื้นหลักอุณหภูมนียมดังแสดงด้วยเส้นประในรูปที่ 8(ก) ขณะที่มีความสม่ำเสมอของค่าแรงดึงสูงสุดที่บริเวณอุณหภูมนียมพื้นหลัก ภาพขยายกำลังสูง ของรอยแตกหักที่ไม่สม่ำเสมอแสดงให้เห็นรูปแบบการแตกหักแบบดิมเพล (Dimple pattern) ซึ่งแสดงให้เห็นว่ารอยต่อเกิดการแตกหักแบบหนียว (Ductile mode) ดังแสดงในรูปที่ 9(ค)

### 4. สรุปผล

กระบวนการเชื่อมฟริกชั้นสเตอร์สามารถเชื่อมรอยต่อชั้นของอุณหภูมนียมและเหล็กได้อย่างมีประสิทธิผล และผลการทดลองการศึกษาอิทธิพลตัวแปรเชื่อมโดยสรุปมีดังนี้

1) การปรับตำแหน่งของตัววนเข้าหากะและออกจากผิวอยู่ต่อของแผ่นเหล็กเป็นปัจจัยสำคัญที่ทำให้เกิดการเชื่อมระหว่างอุณหภูมนียมและเหล็ก แนวเชื่อมสามารถเกิดได้โดยวางชิ้นงานอยู่ที่ด้านขวาหริททิ่ง

2) รอยต่อที่ให้ค่าความแข็งแรงสูงสุดสามารถเชื่อมได้ด้วยค่าความเรื้อรอบที่ทำให้เกิดรอยต่อที่สมบูรณ์ ความเรื้อรอบที่ต่ำเกินไปทำให้เกิดความร้อนในแนวเชื่อมที่ไม่เพียงพอต่อการเชื่อม และเป็นสาเหตุให้ตัววนเกิดการสึกกร่อนและแตกหัก ขณะที่ความเรื้อรอบที่สูงเกินไปทำให้เกิดความร้อนที่สูงเกินไป แนวเชื่อมเกิดการผ่าไหนและทำให้รอยต่อไม่สมบูรณ์

3) รอยต่อที่ให้ค่าความแข็งแรงสูงสุดสามารถเชื่อมได้ด้วยค่าระยะตำแหน่งตัววน 0.2 มม. ค่าระยะตำแหน่งตัววนที่มากทำให้เกิดดันเหล็กเข้ามาในแนวเชื่อมมากเกินไป ก่อให้เกิดความไม่สมบูรณ์ของรอยเชื่อมและตัววนง่ายต่อการแตกหัก

4) สารประกอบกึ่งโลหะที่มีความประนีประนอมเกิดการก่อตัวที่บริเวณผิวน้ำของแนวเชื่อมเนื่องจากความร้อนที่สูงขึ้นและเป็นสาเหตุที่ทำให้รอยต่อมีค่าความแข็งแรงลดลง

5) ขนาดความโดดของตัว gwun ขนาด 2 ถึง 4 มม. มีผลเพียงเล็กน้อยต่อการกลسمบัดและโครงสร้างจุลภาคของรอยต่อ

### เอกสารอ้างอิง

- [1] M. Aritoshi and K. Okita, "Friction Welding of Dissimilar Metals" J. of Japan Welding Society, 71-6 (2002) 432-436.
- [2] T. Watanabe, A. Yoneda, "A study on Ultrasonic Welding of Dissimilar Metals" Q. J. of Japan Welding Society 17-5 (1999) 223-242.
- [3] M.J. Rathod and M. Kutsuna, "Joining of Aluminum Alloy 5052 and Low-Carbon Steel by Laser Roll Welding", Welding J. 83-1 (2004) 16s-26s.
- [4] W.M. Thomas and E.D. Nicholas, "Friction Stir Welding for The Transportation Industries", Materials and Design 18 (1997) 269-273.
- [5] T. Watanabe, H. Takayama and K. Kimapong, "Joining of Steel to Aluminum Alloy by Interface activated Adhesion Welding", Materials Science Forum 426-432 (2003) 4129-4134.
- [6] K. Yoshikawa and T. Hirano, "Numerically Controlled Friction Stir Welding in Layered Dissimilar Metal Materials of Aluminum and Steel", Proceed. of 3rd Inter. Symp. on Friction Stir Welding, Kobe, Japan, Sept. 27-28, 2001, 1-11.
- [7] U.R Kattner and T.B. Massalski, Binary Alloy Phase Diagrams (ASM International, Material Park, OH, 1990) P. 147.
- [8] P. Ulysse, "Three Dimensional Modeling of the Friction Stir Welding Process", Int. J. of Machine Tools&Manu. 42 (2002) 1549-1557.

### ประวัติผู้เขียนบทความ

ชื่อ: นายกิตติพงษ์ กิมะพงศ์

ตำแหน่ง: อาจารย์ระดับ 5



### ประวัติการศึกษา:

- วศ.บ. อุตสาหการ (การผลิต)

- วศ.ม. เทคโนโลยีวัสดุ

- Ph.D. Advanced Materials Science and Production Systems Engineering

### ประสบการณ์ การฝึกอบรม และงานวิทยากร:

- ฝึกอบรม เรื่อง Operation Process ที่ Northern Alberta Institute of Technology (NAIT), Edmonton, Alberta, CANADA

- ฝึกอบรมเรื่อง Renovation of Process Industry ที่ JICA Kyushu International Center, Kita-Kyushu, Fukuoka, JAPAN

ชื่อ: นายอนันท์ มีมนต์

ตำแหน่ง: อาจารย์ระดับ 6



### ประวัติการศึกษา:

- วศ.บ. อุตสาหการ (การผลิต)

### ประสบการณ์ การฝึกอบรม และงานวิทยากร:

- ฝึกอบรมเรื่อง Operation Process ที่ Northern Alberta Institute of Technology (NAIT), Edmonton, Alberta, CANADA

- วิทยากรและผู้ฝึกสอนภาคปฏิบัติ, โครงการ “ระบบรับรองความสามารถของบุคลากรในอุตสาหกรรม ยานยนต์ สาขางานฉีดพลาสติก (Plastic injection)” สถาบันยานยนต์

### สถานที่ทำงานและติดต่อ:

ภาควิชาวิศวกรรมวัสดุและโลหการ

คณะวิศวกรรมศาสตร์

มหาวิทยาลัยเทคโนโลยีราชมงคลรัตนบุรี

ดำเนินการอยู่ อำเภอธัญบุรี จังหวัดปทุมธานี 12110  
โทรศัพท์ : 0-2549-3490-2

โทรสาร : 0-2549-3490

จดหมายอิเล็กทรอนิกส์

jomyut@rmut.ac.th (นายกิตติพงษ์ กิมะพงศ์)

anin@rmut.ac.th (นายอนันท์ มีมนต์)